

بررسی خواص ساختاری نانوذرات سریا- زیرکونیا آلاییده با منگنز سنتز شده به روش هم رسوی

رضا نورالدینی، احمد کمپانی*، شعبان رضا قربانی

گروه فیزیک، دانشکده علوم، دانشگاه فردوسی مشهد

(دریافت مقاله: ۹۵/۵/۲۶، نسخه نهایی: ۹۵/۸/۲۵)

چکیده: در این پژوهش، نانوذرات $\text{Ce}_{0.8}\text{Zr}_{0.2-x}\text{Mn}_x\text{O}_2$ ($x = 0.0, 0.05, 0.10$) به روش هم رسوی در دمای تکلیس 600°C سنتز شدند. از نیترات سریم، اکسی نیترات زیرکونیوم و کلرید منگنز به عنوان پیش ماده‌های اصلی و آمونیاک به منظور عامل رسوب‌دهنده استفاده شد. ساختار و ریخت نمونه‌های تهیه شده با استفاده از پراش پرتو X (XRD) و نیز میکروسکوپ الکترونی تراگسیلی (TEM) مطالعه شدند. با توجه به طرح پراش پرتو ایکس، مشخص شد که ساختار نمونه‌ها مکعبی است. بررسی تصاویر TEM تهیه شده نشان داد که شکل ذرات کروی بوده و اندازه متوسط آن‌ها برای سریا- زیرکونیا و سریا- زیرکونیا با 10 nm درصد ناخالصی منگنز به ترتیب برابر با 8.2 nm و 7.3 nm به دست آمدند. علاوه بر این، نوع پیوندهای موجود در نمونه‌های تهیه شده با تحلیل تبدیل فوریه فروسرخ (FTIR) شناسایی شدند.

واژه‌های کلیدی: سریا- زیرکونیا؛ منگنز؛ هم رسوی؛ XRD؛ TEM؛ FTIR

کننده اکسیژن و تجزیه مواد آلاینده موجود در آب گسترش یافته است. با این حال، عملکرد سریم خالص در کاربردهای ذکر شده به دلیل تغییر ظرفیت اکسیژن آن محدود است. لذا برخی از پژوهشگران از زیرکونیوم برای افزایش کارایی اکسید سریم استفاده کرده‌اند [۷]. این اکسید ترکیبی، به دلیل تحرک بالای حامل‌های بار الکتریکی و تهی جاهای اکسیژن، فعالیت کاتالیزوری بسیار خوبی را نشان می‌دهد و نیز گزارش‌هایی مبنی بر اینکه یون‌های سه ظرفیتی می‌توانند این دو ویژگی اکسیدهای ترکیبی پایه سریم را بهبود بخشنده، منتشر شده است [۸].

نانوذرات سریا- زیرکونیا به روش‌های مختلف، از قبیل هم- رسوی [۹]، سل- ژل [۱۰]، گرمایی [۱۱] و واکنش حالت جامد [۱۲] سنتز شده‌اند. پراساد و همکارانش نانوپودر

مقدمه

در سال‌های اخیر نانوذرات نیمرسانان، به دلیل داشتن خاصیت کاتالیزوری خوب، مورد توجه پژوهشگران قرار گرفته‌اند. مشخص شده است که نانوذرات نیمرسانانی با گاف نواری ۱ تا ۴ الکترون ولت می‌توانند مولکول‌های آلی را به کمک فرایند فوتوكاتالیزوری تجزیه کرده و به مواد بی‌ضرر تبدیل کنند [۱]. نیمرساناهایی نظیر CeO_2 , ZrO_2 , TiO_2 , CdS و Fe_2O_3 به منظور اکسایش آلاینده‌های آلی مورد استفاده قرار گرفته‌اند [۶-۲]. در بین این مواد نیمرسانان، کاربرد اکسید سریم به دلیل قابلیت منحصر به فرد در تبدیل یون Ce^{4+} به Ce^{3+} در شرایط اکسایش-کاهش، در سیستم‌های کاتالیزوری و عملکردی و بهویژه در مبدل‌های کاتالیزوری، الکتروولیت در سلول‌های سوختی اکسیدی، حسگرهای گازی، مواد ذخیره

بررسی نوع پیوندها در نمونه‌های سنتز شده شده از تحلیل تبدیل فوریه فروسرخ (FTIR) استفاده شد.

نتایج

طرح پراش پرتو X نمونه‌های سنتز شده در گستره $2\theta = 20\text{--}80^\circ$ در شکل ۱ ارائه شده است، که نشان دهنده تشکیل فاز موردنظر بدون هیچ قله اضافی است. همان‌طور که در شکل ۱ الف دیده می‌شود، قله موجود در زوایه 28.59° مریبوط به دسته صفحات (۱۱۱) با بیشترین شدت پراش است. قله‌های در زوایه‌های $33/11^\circ$ ، $32/11^\circ$ و $56/35^\circ$ به ترتیب مریبوط به دسته صفحات (۲۰۰)، (۲۲۰) و (۳۱۱) هستند. همچنین مشخص گردید که ساختار همه نمونه‌ها مکعبی، با گروه فضایی (125) ($Fm\bar{3}m$) (JCPDS 28-0271) است. همان‌طور که در شکل ۱ ب دیده می‌شود، آلایش سریا-زیرکونیا توسط منگنز، قله‌های پراش را به سمت زاویه‌های بزرگتر جابه‌جا می‌کند، که این ناشی از جانشانی اتم منگنز با شعاع یونی کوچکتر (0.66 \AA انگستروم) به جای اتم زیرکونیوم با شعاع یونی بزرگتر (0.84 \AA انگستروم) است.

اندازه بلوک‌ها با استفاده از دو روش فرمول شر و نمودار اندازه - کرنش، با به کارگیری داده‌های XRD، تعیین شدند [۱۳، ۱۴].

استفاده از فرمول شر

فرمول شر را رابطه زیر داده می‌شود:

$$D = \frac{k\lambda}{\beta \cos \theta} \quad (1)$$

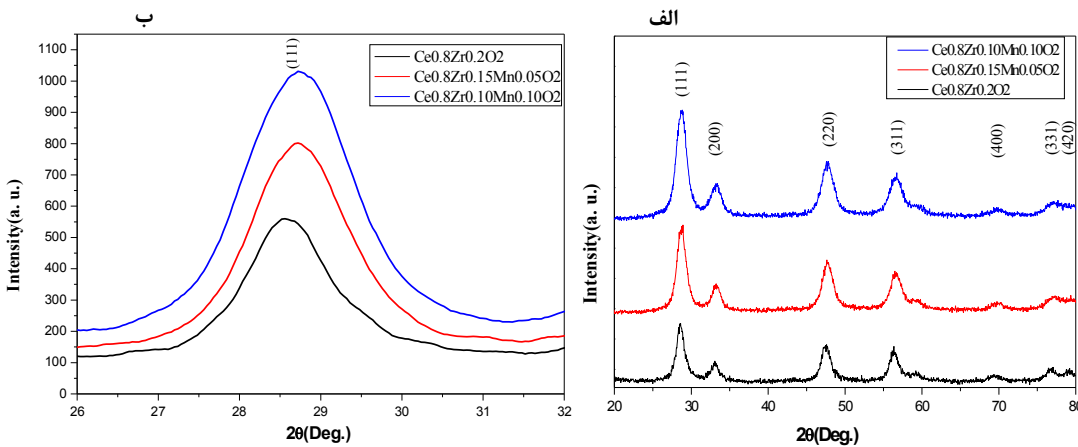
که در آن D اندازه بلوک‌ها بر حسب نانومتر (nm)، k ثابتی است که به ریخت ذرات بستگی دارد و بین 0.94 و 1 است. با توجه به کروی بودن ذرات تهیه شده در این پژوهش مقدار k 0.94 در نظر گرفته شد، λ طول موج پرتو ایکس (0.0406 \AA) در نظر گرفته شد، θ زاویه برآگ و β پهنه‌ای متوسط در انگستروم برای $CuK\alpha$ ، $\beta = 90^\circ$ است. برای به دست آوردن نیم ارتفاع بیشینه بر حسب رادیان است. برای به دست آوردن اندازه بلوک‌ها از داده‌های قله اصلی از صفحات برآگ (۱۱۱) استفاده شد که اندازه آن‌ها برای نمونه خالص و نمونه‌های آلایش یافته با منگنز و درصدهای 5 و 10 به ترتیب 7.88 و 6.11 نانومتر به دست آمد.

سریا-زیرکونیا را به روش سل-ژل سنتز کردند و اندازه نانوذرات تهیه شده را با استفاده از میکروسکوپ الکترونی تراگسیلی (TEM) در گستره 15 تا 30 نانومتر به دست آوردند [۱۰]. در این پژوهش، ابتدا نانوذرات سریا-زیرکونیا با فرمول شیمیایی $Ce_{0.8}Zr_{0.2}O_2$ و همچنین سریا-زیرکونیا با ناخالصی منگنز با فرمول شیمیایی $Ce_{0.8}Zr_{0.2-x}Mn_xO_2$ ($x = 0.05, 0.10, 0.20$) با هدف بهبود ویژگی‌های ساختاری، به روش همروسوی سنتز شده و سپس ساختار آن‌ها مورد بررسی قرار گرفتند.

روش آزمایش

به منظور سنتز نانوذرات سریم زیرکونیا آلاییده با منگنز به روش همروسوی با فرمول شیمیایی $Ce_{0.8}Zr_{0.2-x}Mn_xO_2$ ، نیترات سریم $(Ce(NO_3)_3 \cdot 6H_2O)$ ، اکسی نیترات زیرکونیوم ($MnCl_2 \cdot 2H_2O$) و کلرید منگنز ($ZrO(NO_3)_2 \cdot H_2O$) استفاده شد. همچنین، آمونیاک (NH_3) به عنوان عامل رسوب دهنده و آب مقطر به عنوان حلal به کار گرفته شدند.

ابتدا محلول‌هایی با نسبت مولی یکسان از نیترات‌های سریم، اکسی نیترات زیرکونیوم و کلرید منگنز تهیه و سپس آن‌ها را با هم مخلوط کرده، به‌طوری که محلولی شفاف به دست آمد. آنگاه، آمونیاک به صورت قطره قطره به این محلول، در حین همزدن، اضافه گردید تا $pH = 10$ به برسد. رسوب به دست آمده صاف شد و به منظور حذف آمونیاک، چندین مرتبه با آب مقطر شستشو داده شد. رسوب حاصل را به مدت 12 ساعت در دمای $120^\circ C$ در آون خشک و پس از سایش، در داخل کوره با دمای $600^\circ C$ به مدت 3 ساعت تکلیس شد. آهنگ گرمایش و سرمایش در فرایند تکلیس برای همه نمونه‌ها $4^\circ C/min$ انتخاب گردید. برای اطمینان از تشکیل فازهای مورد نظر و نیز تعیین ساختار بلوئی و محاسبه ثابت‌های شبکه در دمای اتاق، روش پراش پرتو X به کار گرفته شد. طرح پراش پرتو X نمونه‌ها با استفاده از هدف مسی و قدرت تفکیک $2\theta = 20^\circ$ از $2\theta = 80^\circ$ تا $2\theta = 154.06^\circ$ در گستره 0.02° در درجه با طول موج آنگستروم در آزمایشگاه تحقیقاتی دانشگاه دامغان تهیه گردید. تصویر TEM از نمونه‌های سنتز شده با استفاده از میکروسکوپ الکترونی تراگسیلی (LEO 912 AB) موجود در آزمایشگاه مرکزی دانشگاه فردوسی مشهد گرفته شدند. همچنین برای



شکل ۱ الف) طرح پراش پرتو X نمونه های سنتز شده در دمای تکلیس 600°C و ب) تصویر بزرگ شده یکی از قله های اصلی در بازه زاویه ای $2\theta = 26 - 32^{\circ}$.

های یونی، چگالی اتم های آلاینده و نیز دما ایجاد شده باشد. نتایج به دست آمده از دو روش فرمول شر و نمودار اندازه- کرنش در جدول ۱ آورده شده است.

ثابت های شبکه با استفاده از نرم افزار Xpert تعیین شدند. مقدار متوسط ثابت شبکه برای نمونه سریا-زیرکونیای خالص و نمونه های با درصد های منگنز ۵ و ۱۰ به ترتیب $5,380$ ، $5,406$ و $5,370$ انگستروم به دست آمد. چنانکه ملاحظه می شود، با افزایش ناخالصی ثابت شبکه کاهش یافته است، که این ناشی از جانشانی اتم منگنز با شعاع یونی کوچکتر (0.96 Å انگستروم) به جای اتم زیرکونیوم با شعاع یونی بزرگتر (0.84 Å انگستروم) است.

تصاویر میکروسکوپ الکترونی تراگسیلی (TEM) مربوط به ترکیبات $\text{Ce}_{0.8}\text{Zr}_{0.2}\text{O}_2$ و $\text{Ce}_{0.8}\text{Zr}_{0.10}\text{Mn}_{0.10}\text{O}_2$ و نمودار سنتوفی توزیع اندازه ذرات آنها در شکل ۳ ارائه شده است. متوسط اندازه ذرات در این دو نمونه به ترتیب 8.2 nm و 7.3 nm به دست آمد. نزدیکی اندازه دانه ها به اندازه بلورکها می تواند مربوط به دمای تکلیس نسبتاً پایین باشد.

بیناب تبدیل فوریه فروسرخ (FTIR)

بیناب های FTIR مربوط به نانوذرات سریا-زیرکونیا خالص و آلاییده با منگنز به ازای درصد های آلایش ۵ و ۱۰ در شکل ۴ ارائه شده است. درهای پهنی در گستره عدد های موج 3400 تا 3500 cm^{-1} دیده می شود که مربوط به مدهای ارتعاشی مولکول های آب موجود در نمونه ها است. علاوه بر این، چند دره

استفاده از روش نمودار اندازه- کرنش (SSP)

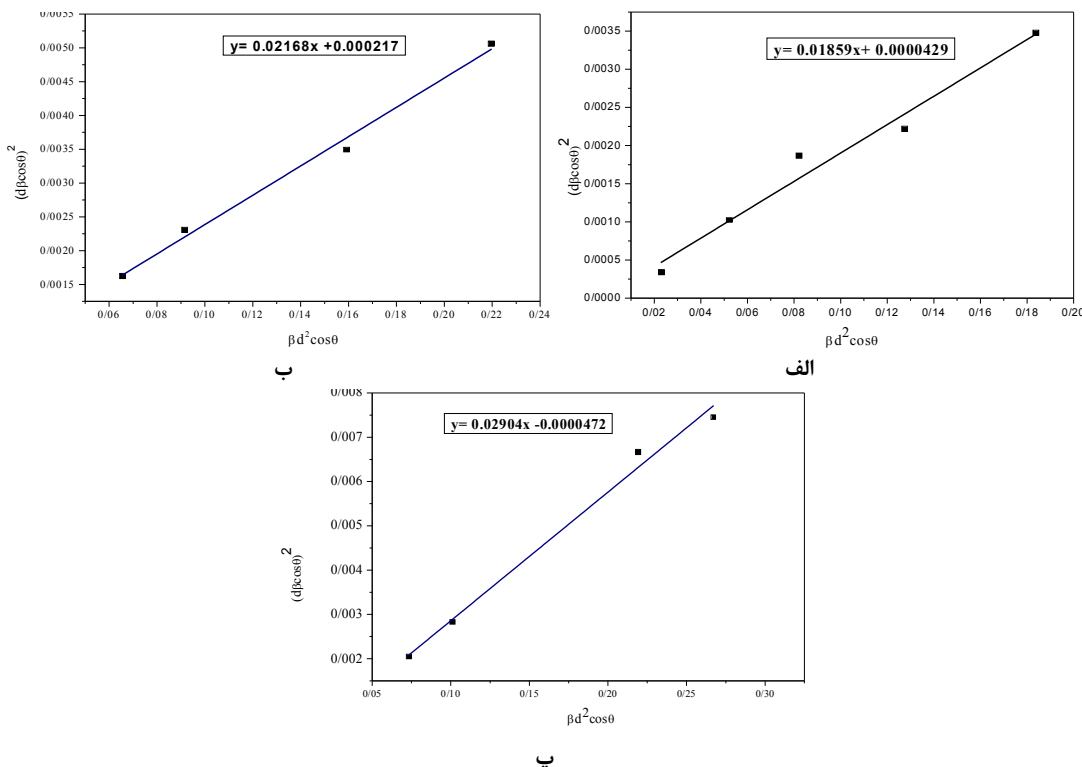
دو عامل اندازه بلورک ها و کرنش شبکه در پهن شدگی قله های برآگ موجود در طرح پراش پرتو ایکس نقش اساسی دارند که می توان با روش SSP میران تأثیر این دو عامل را مشخص نمود. در این روش توزیع اندازه بلورک ها به صورت تابع لورنتسی و کرنش به صورت تابع گاؤسی در نظر گرفته شده است. اندازه بلورک ها و کرنش موجود در نمونه ها به کمک رابطه زیر تعیین می شوند:

$$(d\beta \cos \theta)^2 = \frac{K}{D} (d^2 \beta \cos \theta) + \left(\frac{\epsilon}{2}\right)^2 \quad (2)$$

که D اندازه بلورک ها بر حسب نانومتر (nm)، ϵ کرنش، K ثابت که به شکل ذرات بستگی دارد و به طور تقریبی برابر با $4/3$ است، θ زاویه برآگ و β پهنای متوسط در نیم ارتفاع بیشینه بر حسب رادیان و d فاصله بین صفحات مجاور با شاخص های میلر (hkl) است که از رابطه برآگ $\lambda = 2ds \sin \theta$ به دست می آید. جمله $(d\beta \cos \theta)^2$ بر حسب $(d^2 \beta \cos \theta)$ ، برای تمام قله ها در گستره $2\theta = 20-80^{\circ}$ رسم شده و در شکل ۲ آورده شده است. اندازه بلورک ها برای نمونه های با صفر، ۵ و ۱۰ درصد آلاینده منگنز اضافه شده به سریا-زیرکونیا به ترتیب $7,17$ ، $6,15$ و $4,59$ نانومتر محاسبه گردید. مقدار کرنش نیز برای نمونه های با درصد های صفر، ۵ و ۱۰ آلاینده منگنز به ترتیب $1,01$ ، $+0,03$ و $-0,01$ به دست آمد. مقادیر مثبت و منفی کرنش به ترتیب مربوط به تنش کششی و تنش تراکمی است که می تواند در اثر تفاوت شعاع-

است، با افزایش مقدار منگنز در نمونه‌ها، شدت درههای مربوط به مدهای ارتعاشی مولکول‌های آب و گروههای هیدروکسیل افزایش می‌یابد که این می‌تواند به سبب خاصیت جذب بالای آب توسط منگنز باشد.

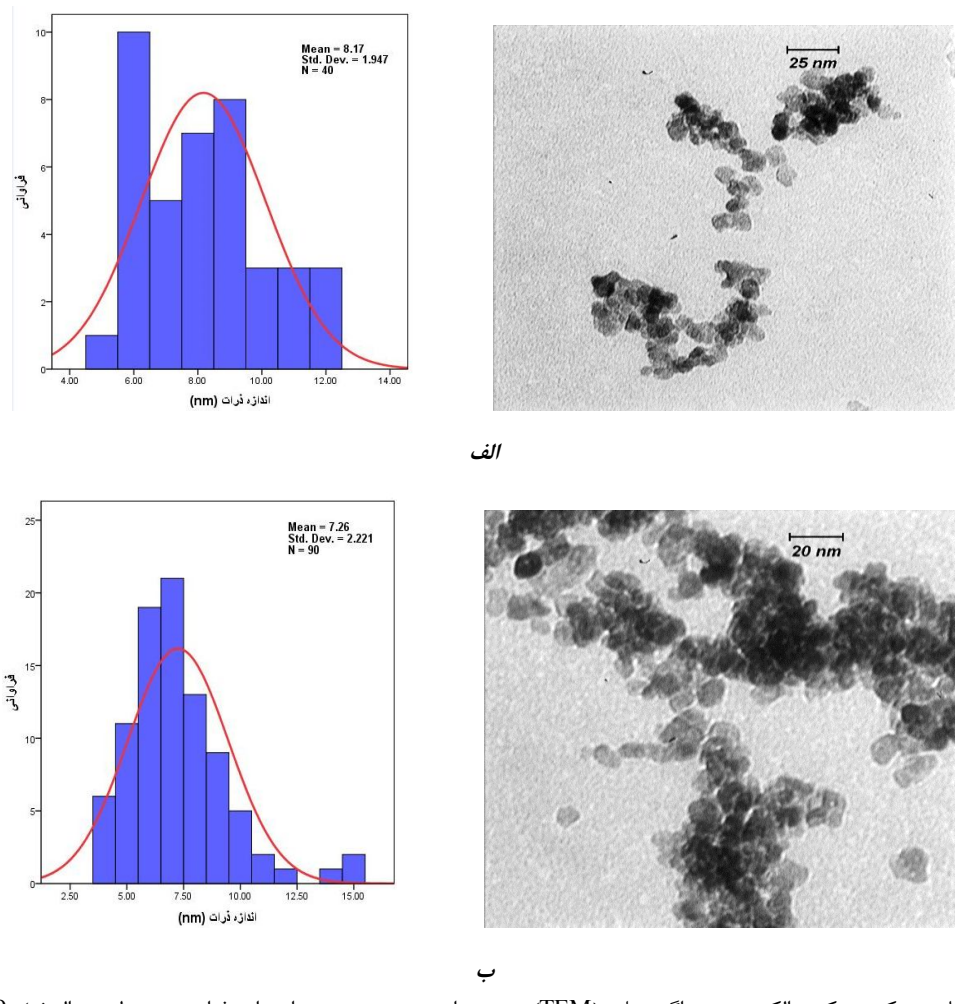
با شدت کمتر در گستره عدد موج‌های 1300 cm^{-1} تا 1600 cm^{-1} وجود دارد که مربوط به گروههای هیدروکسیل است. همچنین، درهی پنهانی در عدد موج حدود 500 cm^{-1} دیده می‌شود که M-O، M = Ce, Zr, Mn از مدهای ارتعاشی پیوند کاتیون-اکسیژن (O²⁻) است [۱۵]. چنانکه در شکل ۴ نشان داده شده



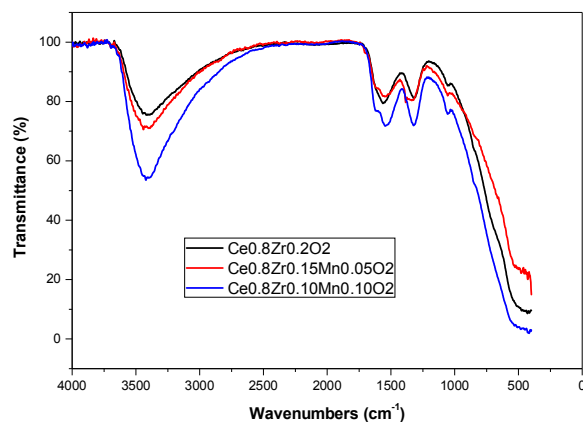
شکل ۲ نمودار اندازه-کرنش برای (الف)، Ce_{0.8}Zr_{0.10}Mn_{0.10}O₂، (ب)، Ce_{0.8}Zr_{0.15}Mn_{0.05}O₂، و (پ)، Ce_{0.8}Zr_{0.2}O₂

جدول ۱ نتایج ساختاری نمونه‌های سنتر شده، به دست آمده از بررسی طیف‌های XRD و تصاویر TEM.

TEM (nm)	اندازه بلورک‌ها			ثبت شبکه (Å)	دسته صفحات	2θ	ساختار	ترکیب					
	SSP روش		فرمول شریر										
	ε	D(nm)											
۸/۳	+/- ۱	۷/۱۷	۷/۸۸	۵۴۰۳	۱۱۱	۲۸,۵۶	مکعبی	Ce _{0.8} Zr _{0.2} O ₂					
				۵۴۰۶	۲۰۰	۳۲,۱۱							
				۵۳۹۰	۲۲۰	۴۷,۶۲							
				۵۴۱۰	۳۱۱	۵۶,۳۵							
-	+/- ۳	۶/۱۵	۶/۱۱	۵۳۴۳	۱۱۱	۲۸,۸۴	مکعبی	Ce _{0.8} Zr _{0.15} Mn _{0.05} O ₂					
				۵۳۸۳	۲۰۰	۳۲,۲۶							
				۵۳۹۴	۲۲۰	۴۷,۶۴							
				۵۳۹۹	۳۱۱	۵۶,۴۸							
۷/۳	-/- ۱	۴/۵۹	۵/۰۷	۵۳۵۷	۱۱۱	۲۸,۹۲	مکعبی	Ce _{0.8} Zr _{0.10} Mn _{0.10} O ₂					
				۵۳۶۹	۲۰۰	۳۲,۳۵							
				۵۳۷۷	۲۲۰	۴۷,۸۰							
				۵۳۷۸	۳۱۱	۵۶,۷۲							



شکل ۳ تصاویر میکروسکوپ الکترونی تراگسیلی (TEM) و نمودار ستونی توزیع اندازه ذرات مربوط به (الف) و $Ce_{0.8}Zr_{0.2}O_2$ و (ب) $Ce_{0.8}Zr_{0.10}Mn_{0.10}O_2$



شکل ۴ بیناب تبدیل فوریه فروسرخ (FTIR) نمونه‌های سنتر شده.

photocatalytic performance of $TiO_2/Ce_xZr_{1-x}O_2$ toward the oxidation of gaseous benzene", Applied Surface Science 256(9) (2010) 2859-2862.

[7] Qing R., "Photocatalysis of cerium-zirconium dioxide solid solution nanoparticle free radical scavengers", University of Florida 2009.

[8] Bampenrat A., Meeyoo V., Kitiyanan B., Rangsuvigit P., Rirksomboon Th., "Naphthalene steam reforming over Mn-doped CeO_2-ZrO_2 supported nickel catalysts", Applied Catalysis A: General 373(1) (2010) 154-159.

[9] Nagai Y., Yamamoto, T., Tanaka T., "X-ray absorption fine structure analysis of local structure of CeO_2-ZrO_2 mixed oxides with the same composition ratio ($Ce/Zr=1$)", Catalysis Today 74(3) (2002) 225-234.

[10] Prasad D.H., Lee J-H., Lee H-W., "Chemical synthesis and characterization of $Ce_xZr_{1-x}O_2$ powders by a modified sol gel method", Journal of Ceramic Processing Research 10(6) (2009) 748-752.

[11] Wang X., et al., "ZrO₂/CeO₂ nanocomposite: Two step synthesis, microstructure, and visible-light photocatalytic activity", Materials Letters 112 (2013) 90-93.

[12] Varez A., Garcia-Gonzalez E., Sanz J., "Cation miscibility in CeO_2-ZrO_2 oxides with fluorite structure. A combined TEM, SAED and XRD Rietveld analysis", Journal of Materials Chemistry 16(43) (2006) 4249-4256.

[13] Zak A.K., Abrishami M., Yousefi R., "X-ray analysis of ZnO nanoparticles by Williamson-Hall and size-strain plot methods", Solid State Sciences 13(1) (2011) 251-256.

[14] Tagliente M., Massaro M., "Strain-driven (002) preferred orientation of ZnO nanoparticles in ion-implanted silica", Nuclear Instruments and Methods in Physics Research Section B: Beam Interactions with Materials and Atoms 266(7) (2008) 1055-1061.

[15] Chen S., Yin Y., Wang D., Liu Y., Wang X., "Structure, growth modes and spectroscopic properties of small zirconia clusters", Journal of crystal growth 282 (2005) 498-505.

نتیجه‌گیری

نانوذرات با فرمول شیمیایی $Ce_{0.8}Zr_{0.2-x}Mn_xO_2$ (x = ۰,۰۵، ۰,۱۰) به روش هم‌رسوبی سنتز و ساختار آن‌ها با استفاده از بررسی طیف‌های XRD، تصاویر TEM و بیناب-XRD مشخصه‌یابی شدند. با بررسی طرح‌های FTIR نمونه‌ها مکعبی است. اندازه متوسط بلورک‌ها از دو روش فرمول شر و اندازه - کرنش، با استفاده از داده‌های حاصل از پراش پرتو X تعیین گردید. تصاویر TEM گرفته شده از نمونه‌ها نشان داد که متوسط اندازه ذرات مربوط به دو ترتیب $8,2\text{ nm}$ و $Ce_{0.8}Zr_{0.10}Mn_{0.10}O_2$ و $Ce_{0.8}Zr_{0.2}O_2$ به ترتیب $7,3\text{ nm}$ است. هم‌چنین، تحلیل بیناب‌های FTIR نمونه‌ها نشان داد که پیوندهای مطلوب شکل گرفته‌اند.

مراجع

- [1] Ameen S., Seo H-K., Akhtar M., Shin H., "Novel graphene/polyaniline nanocomposites and its photocatalytic activity toward the degradation of rose Bengal dye", Chemical engineering journal 210 (2012) 220-228.
- [2] Behnajady M., Modirshahla N., Hamzavi R., "Kinetic study on photocatalytic degradation of CI Acid Yellow 23 by ZnO photocatalyst", Journal of hazardous materials 133(1) (2006) 226-232.
- [3] Hoffmann M.R., et al., "Environmental applications of semiconductor photocatalysis", Chemical reviews 95(1) (1995) 69.
- [4] Qamar M., Munee M., "A comparative photocatalytic activity of titanium dioxide and zinc oxide by investigating the degradation of vanillin", Desalination 249(2) (2009) 535-540.
- [5] Magesh G., Viswanathan B., Viswanath Rp., Varadarajan Tk., "Photocatalytic behavior of CeO_2-TiO_2 system for the degradation of methylene blue", Indian journal of chemistry. Section A, Inorganic, bio-inorganic, physical, theoretical & analytical chemistry 48(4), (2009) 480.
- [6] bo Zhong J., Ma Di., yang He Xi., zhang Li, Ji., qiang Chen Y., "Preparation, characterization and